

## ОПТИМАЛЬНЫЙ СИНТЕЗ ВЫСОКОЧАСТОТНЫХ ГИДРАВЛИЧЕСКИХ УДАРНЫХ МЕХАНИЗМОВ

Для высокочастотных гидравлических ударных механизмов в качестве критерия оптимизации может быть принято быстродействие. Максимум ударной мощности должен соответствовать минимуму продолжительности рабочего цикла. Для упорядочения рассмотрения ударных механизмов разработана их классификация по количеству фаз рабочего цикла, в которых возмущающее воздействие равно сумме сил, действующих при холостом и рабочем ходах. Всего выделено шесть структур. Приводится математическая модель ее решения для одной структуры, а также расчетная схема ударного механизма этой структуры.

Одним из наиболее существенных признаков гидравлических ударных механизмов является организация рабочего цикла. Работа механизма определяется порядком воздействия возмущения рабочего и холостого ходов на боек и определяет тот или иной набор структурных элементов и связи между ними /1, 2/.

Задача оптимизации заключается в обеспечении максимума ударной мощности при максимально возможном КПД, что соответствует основному критерию оптимальности системы. Ударная мощность механизма может быть записана в виде:

$$N = A/T, \quad (1)$$

где  $A$  – энергия единичного удара;  $T$  – длительность рабочего цикла ударного механизма.

Величина энергии удара однозначно определяется из условий прочности бурового инструмента и необходимой объемной работы разрушения породы. Значит, максимум ударной мощности соответствует минимуму продолжительности рабочего цикла ударного механизма, т. е. быстродействие ударного механизма может быть принято в качестве производного критерия оптимизации. В этом случае оптимизируемая (минимизируемая) функция может быть записана в виде:

$$T = \frac{2A}{VPSp} f(i), \quad (2)$$

где  $P$  – давление источника питания;

$Sp$  – площадь вытеснителя рабочего хода;

$f(i)$  – целевая функция от  $i = \frac{F_e}{F_p}$  соотношения возмущающих воздействий на бойке;

$V$  – скорость движения бойка.

Согласно (2) минимум продолжительности рабочего цикла ударного механизма при заданной энергии соответствует: максимуму скорости приложения ударной нагрузки к инструменту, которая ограничена величиной 10 м/с, исходя из условия прочности соударяющихся деталей и предельных значений критических напряжений в ударной системе; максимуму давления источника питания, при этом давление ограничено возможностями источника питания и прочностью подводящих трубопроводов; максимуму площади вытеснителя устройства рабочего хода, ограниченному из условия минимизации объемных потерь.

С учетом последнего ограничения задача оптимального синтеза ударного механизма сводится к прямой задаче линейного быстродействия и может быть

сформулирована следующим образом. Для данного механизма при заданной энергии единичного удара, ограниченных скорости приложения ударной нагрузки, давления источника питания и площади вытеснителя рабочего хода определить соотношение возмущающих воздействия на бойке, соответствующих минимальной продолжительности рабочего цикла и, следовательно, максимальной частоте приложения ударной нагрузки. Задача решена с помощью математических моделей, составленных на основе уравнений вида:

$$M \frac{d^2x}{dt^2} + S\left(\frac{dx}{dt}\right)^2 + R\left(\frac{dx}{dt}\right) + P^* = Q, \quad (3)$$

где  $M$  – масса движущихся частей ударника;

$S\left(\frac{dx}{dt}\right)^2$  – потери на квадратичных гидросопротивлениях;

$R\left(\frac{dx}{dt}\right)$  – потери на вязкое и сухое трение;

$P^*$  – постоянные по величине и направлению силы;

$x$  – текущая координата бойка;

$Q$  – возмущающее воздействие.

Так как вопрос достижения максимального быстродействия рассматривается нами в общем виде, на уровне схем, то второй, третий, четвертый члены уравнения (3), отражающие особенности конструктивной реализации структурной схемы ударного механизма, целесообразно из рассмотрения исключить. Тогда математическая модель механизма упрощается и может быть составлена из уравнений вида:

$$M \frac{d^2x}{dt^2} = Q. \quad (4)$$

Для упорядочения рассмотрения ударных механизмов разработана их классификация по количеству фаз рабочего цикла, в которых возмущающее воздействие равно сумме сил, действующих при холостом и рабочем ходах, т. к. именно этот признак в большей степени отражает быстродействие механизмов. Индексация структур ударных механизмов составлена из цифры, обозначающей количество фаз, в которых боек испытывает возмущение от равнодействующей сил взвода и рабочего хода, и букв, обозначающих эти фазы: В – взвод, Т – торможение, Р – рабочий ход, О – фаза, когда равнодействующая равно нулю при равенстве нулю сил взвода и рабочего хода.

Всего выделены следующие структуры: 0, 1В, 1Т, 1Р, 2ТР, 2ТРО.

На рисунке 1 представлены циклограммы сил, действующих в данном механизме, которые обуславливают наличие 3-х фаз рабочего цикла.

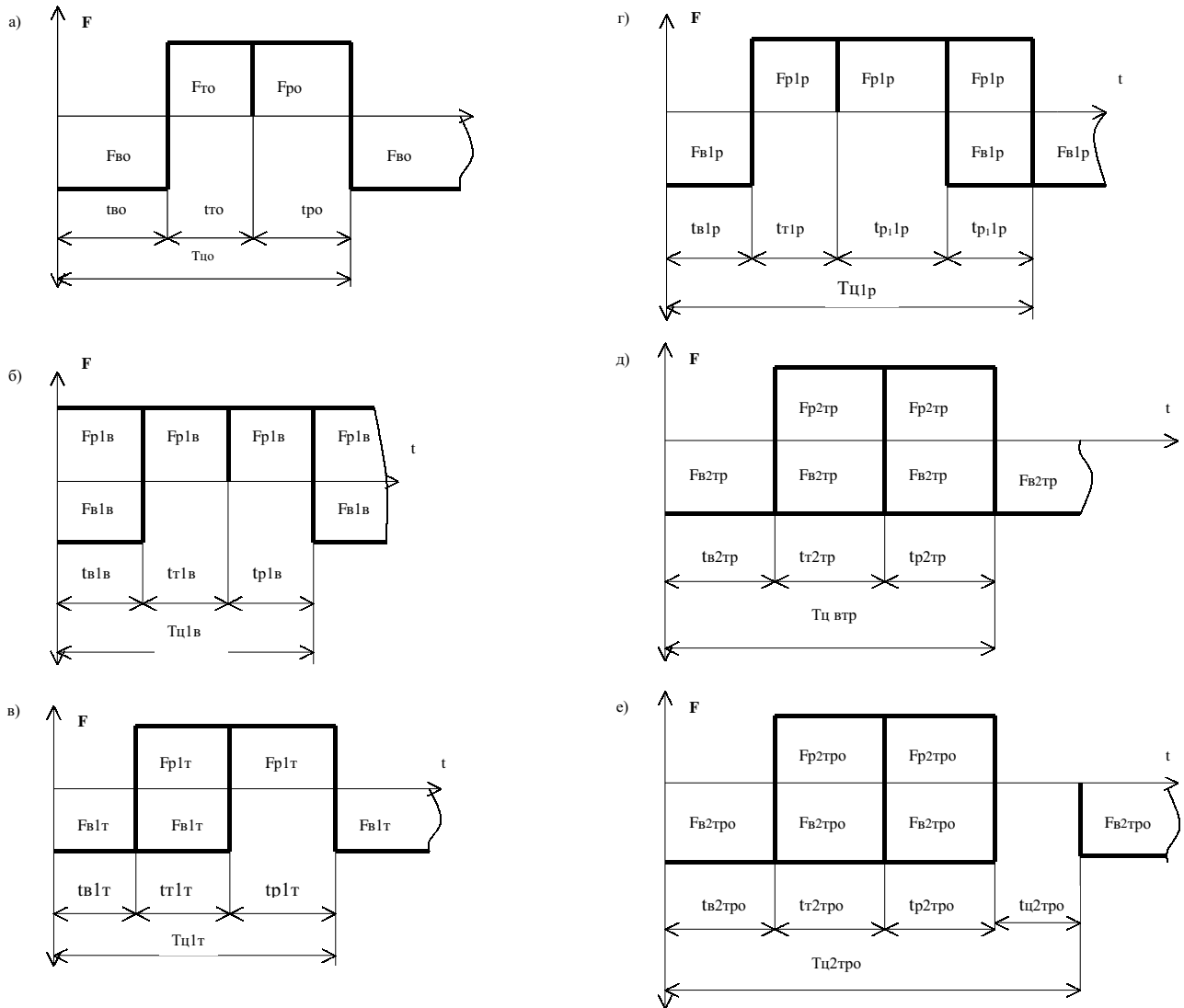


Рисунок 1. Циклограммы сил, действующих в ударных механизмах различных структур

1. Фаза взвода с продолжительностью  $t_{bo}$ , перемещением  $x_{bo}$ , скоростью  $V_{bo}$  и возмущающим воздействием  $F_{bo}$ .

2. Фаза торможения с продолжительностью  $t_{to}$ , перемещением  $x_{to}$ , скоростью  $V_{to}$  и возмущающим воздействием  $F_{to}$ .

3. Фаза рабочего хода, характеризующаяся соответственно величинами  $t_{po}$ ,  $x_{po}$ ,  $V_{po}$ ,  $F_{po}$ .

В соответствии с циклограммой сил математическая модель ударного механизма рассматриваемой структуры может быть записана в виде:

$$\frac{d^2x_{bo}}{dt^2} = \frac{F_{bo}}{m} \quad x = 0 \quad V = 0 \quad \left| \begin{array}{l} \\ \end{array} \right. \text{при } t = 0$$

$$\frac{d^2x_{to}}{dt^2} = \frac{F_{to}}{m} \quad x = 0 \quad V = V_{bo} \quad \left| \begin{array}{l} \\ \end{array} \right. \text{при } t = 0, V = 0 \quad \left| \begin{array}{l} \\ \end{array} \right. \text{при } t = t_{to}$$

$$\frac{d^2x_{po}}{dt^2} = \frac{F_{po}}{m} \quad x = 0 \quad V = 0 \quad \left| \begin{array}{l} \\ \end{array} \right. \text{при } t = 0, V = V_{уд} \quad \left| \begin{array}{l} \\ \end{array} \right. \text{при } t = t_{po}$$

Решение математической модели, проведенное при заданных начальных условиях, представлено в таблице 1.

Таблица 1. Решение математической модели ударного механизма структуры «0»

Фаза рабочего цикла	Время	Скорость	Перемещение	Примечания
Взвод	$t_b = \sqrt{\frac{2mX_b}{F_b}}$	$V_b = \sqrt{\frac{2F_b X_b}{m}}$	$X_b$	
Торможение	$t_{to} = \sqrt{\frac{2mF_{to} X_{to}}{F_{to}}}$	$V_{to} = V_{bo} - \frac{F_{po}}{m} t \Big _0^{t_{to}}$	$X_{to} = \frac{F_b}{F_{po}}$	$F_b = F_{po}$
Рабочий ход	$t_p = \frac{mV_s}{F_{po}}$	$V_{po} = \frac{F_{po}}{m} t \Big _0^{t_{po}}$	$X = \frac{mV_s^2}{2F_{po}}$	

Обозначив соотношение возмущающих усилий

$$\frac{F_{bo}}{F_{po}} = i, \quad (6)$$

запишем условие синтеза ударного механизма

$$x_{po} = x_{bo} + x_{ro}. \quad (7)$$

Подставив в выражение (7) входящие величины, получим

$$x_{bo} = \frac{mV_{yd}^2}{2Fpo(1+i)}. \quad (8)$$

В соответствии с (8) получим выражение для продолжительности рабочего цикла

$$T_{wo} = \frac{mV_{yd}}{F_{po}} \left(1 + \sqrt{1 + \frac{1}{i}}\right). \quad (9)$$

Из выражения (9) следует

$$\lim_{i \rightarrow \infty} T_{wo} = 2 \frac{mV_{yd}}{F_{po}},$$

т. е. величина  $i$  остается неопределенной.

Для ее определения воспользуемся ограничением на отрыв жидкости от рабочей поверхности бойка. Дело в том, что в фазе торможения со стороны камеры взвода на боек не действуют никакие силы, вследствие чего может произойти разрыв столба жидкости. Чтобы этого не было, необходимо соединять камеру взвода в этой фазе со сливной магистралью, на которой установлен аккумулятор-стабилизатор низкого давления, и заполнять камеры жидкостью. В этом случае величину  $i$  можно определить, исходя из условий заполненности камеры взвода.

Расчетная гидрокинематическая схема ударного механизма представлена на рисунке 2.

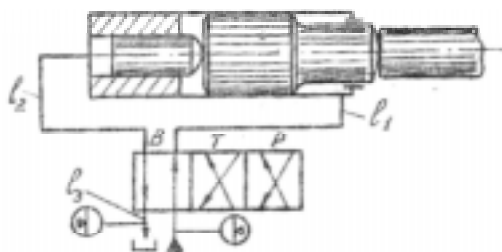


Рисунок 2. Расчетная схема ударного механизма структуры «О»

Условимся считать, что:

- а) ударник выполнен с цапфенным органом управления;
- б) расстояния от органа управления до рабочих камер  $l_1$  и  $l_2$  и до аккумулирующей емкости на сливном трубопроводе  $l_3$  пренебрежимо малы;
- в) основываясь на исследованиях /1, 2/, можно открытие и закрытие щелей распределительного механизма считать мгновенными по постоянным, равным 3,1;
- г) давление жидкости в сливной магистрали  $P_a = 0,3$  МПа, а скорость течения жидкости постоянная;
- д) жидкость несжимаема и в течение работы механизма ее свойства не изменяются;
- е) сливной трубопровод имеет конечную длину;
- ж) будем также считать, что местные гидравлические сопротивления при переходе жидкости из сливного

трубопровода в аккумулятор и в орган управления, также из органа управления в камеру взвода ударника равны нулю.

Имея в виду выше сказанное, работу системы можно описать рядом дифференциальных уравнений. Движение поршня-бойка в фазе торможения описывается уравнением

$$\frac{dV_{to}}{dt} = -\frac{F_{po}}{m} + \frac{P_s S_B}{m}, \quad (10)$$

где  $V_{to}$  – текущее значение скорости движения бойка в фазе торможения;

$F_{po}$  – тормозящее воздействие со стороны камеры рабочего хода  $F_{po} = P_0 S_p$ ;

$P_1$  – давление жидкости в камере взвода;

$S_B = i S_p$  – поверхность, на которую действует  $P$ , в камере воздуха;

$i$  – безразмерный коэффициент, характеризующий соотношения управляющих воздействий;

$m$  – приведенная масса подвижных частей ударника.

Давление жидкости в камере взвода можно описать уравнением

$$P_1 = P_c - \xi_{up} \frac{V_{up}}{2q}, \quad (11)$$

где  $P_c$  – давление жидкости в точке подключения аккумулирующей емкости;

$\xi_{up}$  – коэффициент сопротивления щели золотника;

$V_{up}$  – скорость протекания жидкости через щель золотника.

Давление жидкости на конце трубопровода описывается уравнением

$$P_{tp} = P_0 - \xi_{tp} \frac{V_{tp}^2}{2q}, \quad (12)$$

где  $\xi_{tp}$  – коэффициент сопротивление трубопровода по длине;

$V_{tp}$  – скорость протекания жидкости по трубопроводу.

Давление жидкости в точке подключения аккумулирующей емкости определяется, имея ввиду условие «б», как давление в гидравлической полости компенсатора.

$$P_c = \frac{(W_0 - W)C}{S_k^2}, \quad (13)$$

где  $S_k^2$  – площадь поперечного сечения гидравлической полости аккумулятора;

$W_0$  – начальный объем жидкости в компенсаторе;

$W$  – текущее значение объема жидкости, вытесненной из компенсатора.

Так как потом жидкость из аккумулятора распределяется между трубопроводом и камерой взвода ударника, то для нормальной, безкавитационной работы сис-

темы необходимо выполнение условия неразрывности потока жидкости, т. е.

$$V_{to} \times S_B + V_{tp} \times S_{tp} = V_k \times S_k, \quad (14)$$

Имея в виду (13) и то, что давление на конце трубопровода  $P_{tp} = 0$ , т. к. жидкость изливается в бак почти при атмосферном давлении, запишем уравнение (12) в виде:

$$P_{tp} = \frac{(W_0 - W) \times C}{S_k^2} - \xi_{tp} \frac{V_{tp}^2}{2q}, \quad (15)$$

откуда

$$V_{tp}^2 = \frac{2(W_0 - W) \times C q}{\xi_{tp} \times S_k^2} \quad (16)$$

и

$$V_{tp} = \sqrt{\frac{2(W_0 - W) \times C q}{\xi_{tp} \times S_k^2}}, \quad (17)$$

Имея в виду (17) и условие (ж), запишем (11) в виде:

$$P_1 = \frac{(W_0 - W)C}{S_k^2} - \xi_{tp} \frac{V_{tp}^2}{2q} \times \frac{S_B^2}{S_{tp}^2}. \quad (18)$$

При совместном решении уравнений (10) и (13), (14) и (17) получим систему дифференциальных уравнений

$$\frac{dV_0}{dt} = \frac{iS_p}{mS_k^2} (P_a S_k^2 - W \times C) - \frac{\xi_{tp} i^2 S_p^2 V_{to}}{2mqS_{pp}} - \frac{P_0 S_p}{m}; \quad (19)$$

$$\frac{dW}{dt} = iS_p V_{to} + \frac{S_{tp}}{S_k} \times \sqrt{\frac{2q}{\xi_{tp}} - (P_a S_k^2 - W \times C)}.$$

Система (19) решена при следующих значениях входящих в нее постоянных:

$$i = 0,3; 0,5; 0,76; 0,98; S_p = 9,6 \times 10^{-4} \text{ м}^2;$$

$$m = 6 \text{ кг}; S_k = 4 \times 10^{-4} \text{ м}^2; P_a = 3 \times 10^5 \text{ Па}$$

$P_a$  – допустимое значение давления в сливной магистрали.

$C$  – жидкость упругого элемента компенсатора

$$C = 2500, 3500; o_{pp} = 2,8 \times 10^4;$$

$$q = 9,81 \text{ м/с}; S_{pp} = 3 \times 10^{-4} \text{ м}^2;$$

$$P_0 = 10^7 \text{ Па}; P_a = 2 \times 10^{-4}; 3,14 \times 10^{-4} \text{ м}^2;$$

$$o_{tp} = 1,52 \times 10^5.$$

Решение системы показывает, что при  $S_{mp} = 2 \times 10^{-4}$  м<sup>2</sup> и  $\xi_{dp} = 1,52 \times 10^5$  обеспечивается заполнением камеры взвода жидкостью из компенсатора при всех значениях  $i$  и  $C$  вплоть до  $i = 0,98$ .

Увеличением диаметра трубопровода с 16 мм до 20 м соответственно  $S_{tp} = 4,14 \times 10^{-4}$  и  $\xi_{mp} = 1,22 \times 10^5$  при жесткости  $C = 2500$  и превышении величины  $i = 0,8$  заполнение камеры взвода жидкостью происходит не полностью, что в последующих циклах приведет к усиленным кавитационным явлениям.

Таким образом, можно считать, что величина  $i = 0,8$  удовлетворяет как поставленной задаче, так и скорости протекания жидкости по сливному трубопроводу.

В этом случае продолжительность рабочего цикла запишется

$$T_{pp} = 2,5 \frac{mV_{pp}}{F_{po}}. \quad (20)$$

#### Список использованной литературы:

1. Павлов А.С., Лурье И.Ф. Выбор гидравлического ударного механизма бурильной машины вращательно-ударного действия // Изв. вузов. Горный журнал, 1978, №1, с. 100-105.
2. Павлов А.С., Лурье И.Ф. Синтез оптимальных гидрообъемных ударных механизмов // Изв. вузов. Горный журнал, 1983, №6, с. 76-79.
3. Янцен И.А., Ешуткин Д.Н., Бородин В.В. Основы теории и конструирования гидропневмоударников. – Кемерово, 1977. – 245 с.